

## ELECTRICAL ENGINEERING

# Analysis of the Electrical Power Distribution System in Tarhuna City (Libya) to Avoid Future Loads Using NEPLAN Software

Ali Almabrouk Ali Alnaedh<sup>1</sup>, Aimen Saelh Dkali Matoug<sup>1</sup>, Saad Habeeb Hadi Al-Behadili<sup>2,\*</sup>

<sup>1,2</sup> Electrical Engineering Department, The Higher Institute of Science and Technology – Tarhuna, Libya

<sup>3</sup> Mechanical Engineering Department, The Higher Institute of Science and Technology – Tarhuna, Libya

### ARTICLE HISTORY

Received 05 December 2023

Revised 23 December 2023

Accepted 29 December 2023

Online 02 January 2024

### KEYWORDS

Power systems;

Electrical power distribution;

Planning;

Tarhuna;

NEPLAN Software.

### ABSTRACT

The electrical distribution systems in Tarhuna city suffer from several problems, including the drop in voltage and overloading as a result of the increasing demand for electrical energy at the present time, due to the urban boom and the expansion of the residential area in the city, and because of the presence of one 30/11 kV station on which the city depends entirely to provide electrical energy. This study aimed at analyzing and planning for the short term (four years) from 2017 to 2021 for the electrical power distribution network for the central area of Tarhuna city in order to face the challenges of demand for electrical capacity and future loads and its proposed expansion using the NEPLAN program, and the results of this study showed the following: For the year of 2017, the total load amounted to (4.913 MVA), the presence of an overload on some network elements more than the permissible limit, which is a transformer (Alkudrawat, Alaswaq), whereas the year 2021, the amount of the total load reached to (6.684 MVA), the presence of many network problems from overloading some elements and loading more than the permissible limit, which is the adapter (Alohum, Alaswaq, Alkudrawat, Albaldia), this study is proposed to solve these problems by replacing the old transformers that appeared with problems with other transformers with greater capacities. However the results showed that there is no overloading on the network elements. It also showed the absence of transformers loading more than the permissible limit, as there is no an unacceptable drop in voltage at the nodes, and a clear improvement was observed in the performance of the network in terms of load and lost capacities in some transformers as well as in the voltage values and angles at the nodes compared to the previous case. This study recommends periodical studies in order to develop electrical load plans and their development with the determination of the requirements and needs of the current electrical network, and to conduct research for long-term planning (from 10 years and above).

## تحليل نظام توزيع الطاقة الكهربائية في مدينة ترهونة (ليبيا) لتجنب الاحمال المستقبلية باستخدام برنامج NEPLAN

علي المبروك علي الناض<sup>1</sup>، ايمن الدوكالي صالح معتوق<sup>1</sup>، سعد حبيب هادي الهادي<sup>2,\*</sup>

| الكلمات المفتاحية   | المخلص   |
|---|--|
| أنظمة القدرة<br>توزيع الطاقة الكهربائية<br>التخطيط<br>ترهونة<br>برنامج NEPLAN | تعاني أنظمة التوزيع الكهربائي في مدينة ترهونة من عدة مشاكل منها الهبوط في الجهد والتحميل الزائد في ظل الطلب المتزايد على الطاقة الكهربائية في الوقت الراهن وذلك بسبب الازدهار العمراني واتساع الرقعة السكنية في المدينة، وبسبب وجود محطة واحدة 11/30 kV تعتمد عليها المدينة كلياً في توفير الطاقة الكهربائية. هدفت هذه الدراسة إلى تحليل وتخطيط قصير الأجل (أربع سنوات) من 2017-2021 لشبكة توزيع الطاقة الكهربائية لمنطقة ترهونة المدينة لكي تواجه تحديات الطلب على القدرة الكهربائية والأحمال المستقبلية والتوسع المقترح لها وذلك باستخدام برنامج NEPLAN، وأظهرت نتائج هذه الدراسة ما يأتي: لسنة 2017، مقدار التحميل الاجمالي بلغت قيمته (4.913 MVA)، وجود تحميل زائد على بعض عناصر الشبكة وتحميل أكثر من الحد المسموح به وهي محول (الخضروات، الأسواق)، ولسنة 2021، مقدار التحميل الاجمالي بلغت قيمته (6.684 MVA)، وجود العديد من المشاكل بالشبكة من تحميل زائد على بعض العناصر وتحميل أكثر من الحد المسموح به وهي محول (اللحوم، الأسواق، الخضروات، البلدية)، واقترحت هذه الدراسة حل هذه المشاكل وذلك باستبدال المحولات القديمة التي ظهر بها مشاكل بمحولات اخرى ذات قدرات أكبر وكانت نتائجها بأنه لا يوجد اي تحميل زائد على عناصر الشبكة وكذلك عدم وجود محولات محملة أكثر من الحد المسموح او هبوط غير مقبول في الجهد عند العقد، ولوحظ تحسن واضح في أداء الشبكة من حيث التحميل والقدرة المفقودة في بعض المحولات وكذلك في قيم الجهد وزواياها عند العقد مقارنة بالحالة السابقة. أوصت هذه الدراسة بإنجاز الدراسات وبصفة دورية لوضع خطط الأحمال الكهربائية وتطورها مع تحديد متطلبات واحتياجات الشبكة الكهربائية الحالية، وبإجراء البحوث لتخطيط طويل الأجل (من 10 سنوات فما فوق). |

## الهدف من الدراسة

تهدف هذه الدراسة إلى تحليل وتخطيط قصير الأجل (أربع سنوات) لشبكة توزيع الطاقة الكهربائية لمنطقة ترهونة المدينة لكي تواجه تحديات الطلب على القدرة الكهربائية والاحتمال المستقبلية والتوسع المقترح لها، ومن ثم إيجاد نقاط الضعف من حيث الهبوط في الجهد ومقدار التحميل وكذلك مقدار الفاقد في الشبكة ومعرفة حالة عملية تدفق القدرة في نظام توزيعها الكهربائي وذلك باستخدام برنامج NEPLAN، وكذلك هدفت هذه الدراسة إلى إلقاء الضوء على استخدام برنامج الحاسوب NEPLAN للمساعدة في تحليل نظم القوى الكهربائية، لما لها من أهمية بالغة في التخطيط والتصميم والتشغيل والتحكم في هذه النظم.

## أهمية الدراسة

إن أنظمة التوزيع الكهربائي في ليبيا وترهونة بوجه خاص تعاني من عدة مشاكل منها الهبوط في الجهد والتحميل الزائد في ظل الطلب المتزايد على الطاقة الكهربائية، كما أن أهمية هذه الدراسة تكمن في استمرار التخطيط وإعادة تصميم أنظمة التوزيع وهو الحل الأمثل للحفاظ على الأنظمة بدون توقفات وكذلك خرج مقبول للجهد ومحاولة تقليل المحطات والمغذيات وتكلفتها وبالتالي تكلفة الفقد في الخطوط

## حدود الدراسة

أ- الحدود الزمنية: خريف 2017.

ب- الحدود الموضوعية: التخطيط وإعادة تصميم أنظمة التوزيع في ترهونة المدينة بواسطة استخدام برنامج NEPLAN والمعتمد لدى الشركة العامة للكهرباء.

ج- الحدود المكانية: تم عملياً أخذ البيانات المتوفرة لشبكة توزيع ترهونة من الشركة العامة للكهرباء - ترهونة وأيضاً طرابلس ومحاكاتها باستخدام البرنامج الحاسوبي NEPLAN المعتمد لديها.

## موقع الدراسة

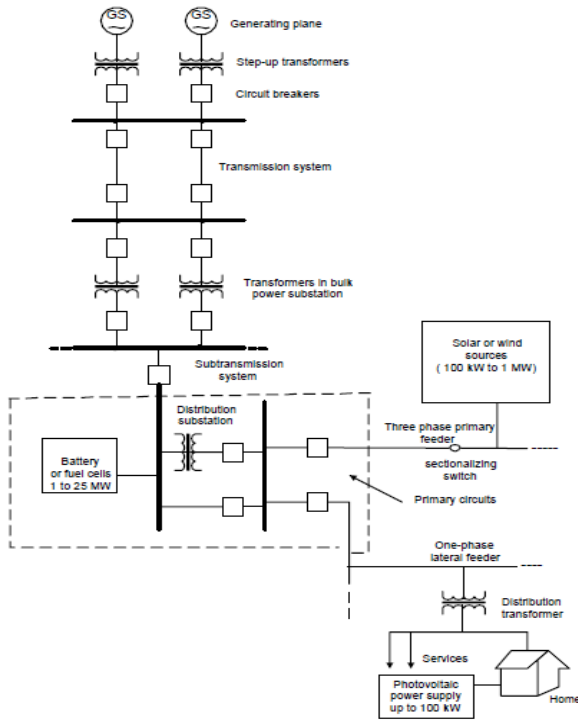
ترهونة هي مدينة تقع في شمال غرب ليبيا، وتعد واحدة من أكبر المدن في البلاد، وتقع على بعد حوالي 90 كيلومتراً جنوب غرب العاصمة طرابلس. وهي موجودة على خط عرض  $26^{\circ} 32'$  وخط طول  $13^{\circ} 38'$  وعلى ارتفاع 398 م فوق مستوى سطح البحر، وتمتد حدودها الجغرافية من وادي فم ملغة غرباً إلى بركات اوعيني شرقاً ثم من سوق الجمعة المصاحبة شمالاً إلى وادي أوكرة المزواغة جنوباً، ويبلغ عدد سكان ترهونة 210697 نسمة تقريباً. تعتبر مدينة ترهونة مركزاً تجارياً واقتصادياً مهماً في المنطقة، حيث تضم العديد من المحال التجارية والأسواق والشركات. تُعد المدينة مركزاً للخدمات الحكومية والتعليمية في المنطقة. أما أحياء المدينة فهي: حي السلام، حي صلاح الدين، الحي الصناعي، منطقة القرابعة، حي الضمان، حي العزائمية، الحي الجامعي، حي الهلال، شعبية بریش، شعبية الجيش، حي عمارات طريق بني وليد، سانية المجذوب، شعبيات السوق، تقسيم السيوي، الملايمية، حي القانون، مسجد البركة. كذلك أهم شوارعها هي: شارع الانطلاق (طريق طرابلس)، شارع الخضراء، شارع الشرشارة، شارع السلام، شارع الجامعة وشارع بني وليد أما أهم قرأها فهي: ترهونة المدينة (المركز)، مكي، سيدي الصيد الخضراء، الشرشارة، الساقية، الحواتم، الصوالح، الدراهيب، الداوون، العزيب، سيدي احميد، دوغة، الدخيلة، وشتاتة، الزيتينة،

تشغيل الأجهزة الالكترونية والألات الكهربائية في المنازل والصناعة، ويتطلب ذلك توليد القدرة الكهربائية ثم نقلها من أماكن توليدها إلى محطات التوزيع وهي المرحلة الأخيرة حيث يتم توزيع الطاقة الكهربائية إلى الأماكن السكنية والتجمعات الصناعية. تعتبر منظومة الطاقة الكهربائية منظومة معقدة، وتتكون من ثلاثة أجزاء رئيسية وهي التوليد، وخطوط نقل القدرة الكهربائية، ومنظومة التوزيع الكهربائية، والأكثر تعقيد فيها هي منظومة التوزيع الكهربائية حيث يقدر نصيب منظومة التوزيع بأكثر من 50% من رأس المال الكلي لهذه المنظومة. إن الغرض من إنشاء منظومة الطاقة الكهربائية إمداد منظومة التوزيع بالقدرة الكهربائية اللازمة وتتكون منظومة التوزيع من ثلاثة أجزاء رئيسية محطات التوزيع ومنظومة التوزيع الأولى ومنظومة التوزيع الثانوي. تعاني أنظمة التوزيع الكهربائية في ليبيا، وخاصة في مدينة ترهونة، من مشاكل عدة، منها انخفاض الجهد والتحميل الزائد نتيجة للطلب المتزايد على الطاقة الكهربائية. ومن الواضح أن التخطيط المستمر وإعادة تصميم أنظمة التوزيع هو الحل الأمثل للحفاظ على الأنظمة بدون توقفات، وضمان خرج مقبول للجهد، وكذلك تقليل عدد المحطات والمغذيات وبالتالي تقليل التكلفة، بما في ذلك تكلفة الفقد في الخطوط. إن إدخال الحاسوب في مجال نظم القوى الكهربائية قد ساعد بشكل كبير في تحليلها وتخطيطها وتصميمها والتحكم فيها وتشغيلها عند أفضل الظروف الملائمة. تم إجراء العديد من الدراسات في بلدان ومناطق مختلفة حول العالم بشأن تحليل أنظمة توزيع الطاقة الكهربائية باستخدام برنامج NEPLAN، محلياً Elgdamsi and Salih [1] قدموا دراسة باستخدام جزء حقيقي من الشبكة الليبية ممثلة بالتوزيع الريفي لنظام 30kV المتصل بمحطة القره بولي الثانوية، والمتكون من مجموعة من المحطات الفرعية ودوائر التغذية مع الأخذ في الاعتبار الحمل الأقصى المتصل بالمقسمات، حيث هدفت دراستهم إلى تعزيز أداء عملية نظام الطاقة؛ باستخدام تدفق الطاقة الأمثل استناداً إلى طريقة نيوتن-رافسون الموسعة، وتطبيق برنامج تحليل الطاقة NEPLAN، وتوصلت دراستهم إلى اختيار أفضل المواقع والأحجام الممكنة وفقاً لمعلومات تكوين الشبكة والتحميل. بينما عالمياً درس Bora et al. [2] تحليل تدفق الأحمال وتقليل الخسائر بمحطة توزيع فرعية 11/33kV بأقل تكلفة مطبقة في مدينة يولا الهندية حيث هدفت الدراسة إلى تقليل فقد الطاقة في نظام التوزيع عن طريق جدولة التوزيع في الشبكة واشترائط إعادة التكوين وإمكانية التخزين باستخدام برنامج NEPLAN، وتم الكشف عن نتائج تحليل تدفق الحمل وتعزيز بروفائيل الجهد وتقليل فقدان الطاقة للنظام المقترح.

## مشكلة الدراسة

تواجه مدينة ترهونة (ليبيا) في الوقت الراهن طلباً متزايداً على الطاقة الكهربائية وذلك بسبب ازدهار العمراني واتساع الرقعة السكنية في المدينة والذي يعتبر أحد أهم مشاكل نظام التوزيع الكهربائي الذي يسبب الهبوط في الجهد والتحميل الزائد، وخصوصاً أن ترهونة تعتبر منطقة حيوية من الناحية السكنية والتجارية والزراعية في ليبيا، لذلك من المتوقع أن تشهد نهضة كبيرة في مجالي المرافق السكنية والتجارية المختلفة، وبسبب وجود محطة kV واحدة 11/30 تعتمد عليها المدينة اعتماداً كلياً في توفير الطاقة الكهربائية لذلك ظهرت هذه الدراسة لتحليل شبكة التوزيع للطاقة الكهربائية في المدينة لمواجهة تحديات الأحمال المستقبلية والتوسع المقترح لها.

أنه في الغالب يتم النقل بواسطة التيار المتردد وينقسم احيانا نظام النقل الي جزئين هما :



الشكل 2: منظومة القدرة الكهربائية. [8]

أ- النقل الابتدائي : يتم النقل بجهد عالي قد يصل الي 400 kV أو أكثر وفي نهاية النقل الإبتدائي يتم تحويل الجهد بواسطة محولات قدرة إلى جهد أقل ملائمة للنقل الثانوي .

ب- النقل الثانوي :عند نهايته يتم تحويل الجهد بواسطة محولات قدرة إلى جهد أقل ملائمة لنظام التوزيع وصالح للمستهلكين الاعتياديين.

جهد التوزيع الإبتدائي بدولة ليبيا هو 11 kV و كذلك جهد التوزيع الثانوي هو 400 V ما بين كل خط وخط، و 230 V ما بين كل خط ومتبادل، ويتم توزيع الطاقة الكهربائية بجهد 11kV بطريقتين وهما الخطوط الهوائية والكوابل الأرضية. وهناك عدة أنظمة لتوزيع الطاقة الكهربائية على حسب التخطيط المتبع ومنها: التوزيع الشعاعي، توزيع الدائرة المتوازنة، التوزيع الحلقي، التوزيع الشبكي. ويجب الأخذ في الاعتبار عند توزيع الطاقة الكهربائية بأن التغير في قيمة الجهد يجب ألا يزيد كحد أقصى عن 10% . [10.9].

#### مكونات محطات التوزيع

تتكون محطات التوزيع من الآتي [11]:

قضبان التوزيع-قواطع الدائرة الكهربائية- الحماية الكهربائية- كوابل واسلاك التوزيع- محولات التوزيع الثانوية (11 kV- 400 V) - وقاية المحولات- لوحات توزيع الضغط المنخفض.

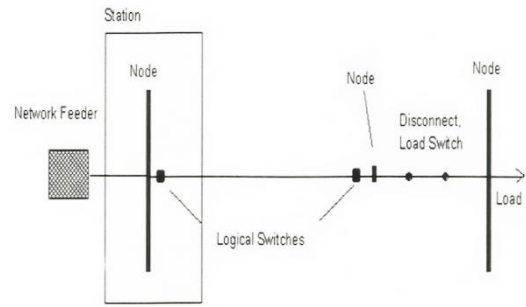
#### تخطيط أنظمة التوزيع الكهربائية

تعتبر منظومة التوزيع الكهربائي مكلفة اقتصادياً ويمكن أن تتساوي مع منظومة التوليد من حيث التكلفة لذلك يجب اللجوء إلى نظام هندسي جيد لخفض التكاليف المادية لهذه المنظومة .

اجلاس، المصباحة، فم ملغة، القصيبة ، سيدي معمر ، الشويرف، أولاد علي، التلة الغربية، التلة الشرقية ، سوق الأحد ، قرية 110 ووادي أوعيني، العبانات، ترغلات، العربان ، الكوانين، الطرشان، النعاجة.وتوجد بمدينة ترهونة فروع لمعظم المصارف التجارية العاملة بالدولة الليبية كمصرف الجمهورية، المصرف التجاري، المصرف العقاري، المصرف الزراعي، مصرف الادخار ومصرف شمال افريقيا.[3].

#### برنامج نيبلان NEPLAN Software

نيبلان (NEPLAN) هو برنامج يمكن للمهندسين الكهربائيين استخدامه لتحليل التوليد والنقل وشبكات التوزيع وشبكات الطاقة الصناعية وأنظمة توليد الطاقة المتجددة (توربينات الرياح والطاقة الشمسية وما إلى ذلك) حيث يعتبر NEPLAN برنامجاً لتحليل والمحاكاة الكهربائية التي يمكن استخدامها لتخطيط شبكات الطاقة وتحسينها معتمداً في ذلك على المعايير الدولية (IEEE، ANSI، IEC). واجهة المستخدم البسيطة لهذا البرنامج جعلته أكثر سهولة لتحليل جميع الشبكات الكهربائية مثل شبكات الإنتاج والنقل والتوزيع. إن دقته لبيانات المخرجات ووجود أدوات تحليل مختلفة فيه ساهمت لهذا البرنامج على ان يصبح أحد أكثر البرامج شيوعاً لتحليل شبكات الطاقة.[5.4]. الشكل (1) يوضح بشكل مبسط كيفية تمثيل برنامج نيبلان (NEPLAN) للعناصر الرئيسية لنظام القدرة الكهربائية.



الشكل 1: مخطط توضيحي لتمثيل برنامج نيبلان (NEPLAN) لخط واحد لمكونات شبكة كهربائية.[7.6]

#### المراحل الأساسية لمنظومة القدرة الكهربائية

تنقسم المراحل الأساسية لمنظومة القدرة الكهربائية كما يلي:

أ- منظومة توليد القدرة الكهربائية

ب- منظومة نقل القدرة الكهربائية

ج- منظومة توزيع القدرة الكهربائية

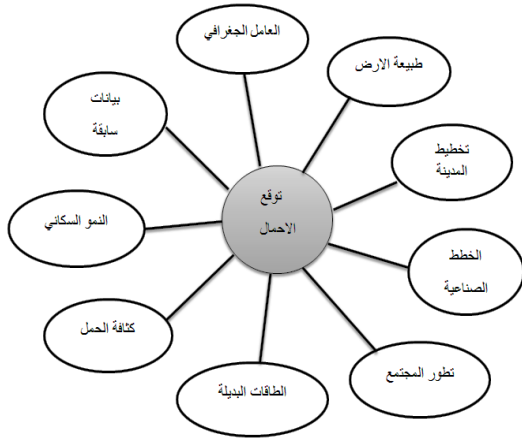
يوضح الشكل (2) نموذجاً لنظام منظومة توليد ونقل وتوزيع الطاقة بواسطة التيار المتردد.

#### أنظمة توزيع الطاقة الكهربائية

الغرض الرئيس لنظام التوزيع هو نقل الطاقة إلى المستهلكين في أماكن استهلاكها، ويجب أن يتم توسيع هذا النظام ليشمل جميع المناطق التي تحتاج إلى الطاقة الكهربائية وفقاً لاحتياجات المستهلكين ومواقعهم.

تُنقل الطاقة الكهربائية بواسطة خطوط نقل ابتدائية بجهد ثابت يطلق عليه جهد الشبكة حيث يستخدم في دولة ليبيا جهد نقل 400 kV وجهد نقل 220 kV وبتردد 50 Hz وتربط خطوط النقل الابتدائية جميع محطات التوليد بالمحطات الثانوية، حيث يمكن نقل الطاقة الكهربائية إما بواسطة التيار المستمر (Direct Current) أو التيار المتردد (Alternative Current) إلا

أ- تخطيط قصير الأجل (3- 5 سنوات) وأهدافه التعامل مع الحمل الزائد أو زيادة المغذيات أو توسع المحطة الرئيسية .  
 ب- تخطيط طويل الأجل ( من 10 سنوات فما فوق ) ويدرس توقع الطلب على المدى الطويل ويستخدم عنده بناء محطة رئيسية حيث يقرر مكان وسعة تلك المحطة وكذلك أفضل عدد من المغذيات اللازمة [12].



الشكل 4: العوامل المؤثرة على توقع الحمل.

### الحمل الأقصى المتوقع

التخطيط المستقبلي لمشروعات الطاقة الكهربائية سواء كانت مشروعات الإنتاج أو مشروعات شبكات النقل والتوزيع يعتمد على الحمل الأقصى السنوي ( حمل الذروة ) لذلك لا بد من حساب هذا الحمل، كما في المعادلة (1). [15,14]:

$$\text{الحمل الأقصى (MW)} = \frac{\text{الطاقة المنتجة سنوياً (MW.h)}}{\text{عدد ساعات السنة} \times \text{معامل الحمل}} \quad (1)$$

### معامل نمو الحمل

وفقاً لمعدلات الزيادة السنوية للأحمال في ليبيا، بلغ متوسط معامل نمو الحمل السنوي 7.7% خلال الفترة ( 2001-2012 ) أي في حدود 8% وهذه القيمة تأخذ بعين الاعتبار كل العوامل المؤثرة على نمو الحمل مثل النمو السكاني والصناعي والاستراتيجي وغيرها [16]. وبناء على هذه القيمة فإن الأحمال ستكون حسب المعادلة العامة لنمو الحمل كالتالي [17]:

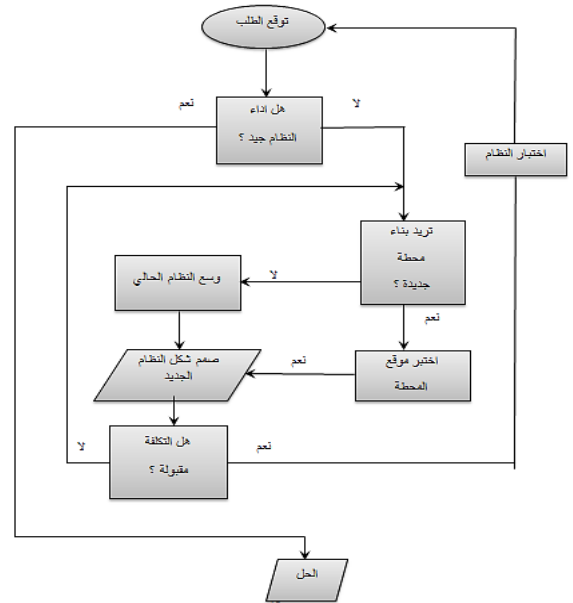
$$S_{\text{new}} = S_{\text{old}} (1 + 0.08)^n \quad (2)$$

حيث: (  $S_{\text{new}}$ ,  $S_{\text{old}}$  ) هي مقدار القدرات القديمة والجديدة ( MVA ) .  
 (n) تمثل عدد السنوات.

### منهجية الدراسة

المنهجية المستخدمة لتحليل وتخطيط نظام توزيع الطاقة الكهربائية في منطقة ترهونة المدينة لتجنب الأحمال المستقبلية هي استخدام برنامج NEPLAN، ولمدة زمنية قدرها أربع سنوات 2017-2021، ومن ثم إيجاد نقاط الضعف من حيث الهبوط في الجهد ومقدار التحميل وكذلك مقدار الفقد في الشبكة ومعرفة حالة عملية تدفق القدرة في نظام توزيعها الكهربائي. واقتراح التعديلات اللازمة لتجنب التحميل الزائد على عناصر الشبكة وكذلك التحميل أكثر من الحد المسموح به على المحولات لسنة 2021 وتحليلها باستخدام برنامج نيبلان من خلال مخطط سريان القدرة للشبكة.

يعد التخطيط لتطوير إداء الشبكات التي تراعي متطلبات المستقبل على الصعيد التقني والاقتصادي هو من الأولويات وتعتبر الخسائر الكبيرة في الطاقة من الأسباب الرئيسية في التخطيط لتصميم وتطوير الشبكات وهي تتطلب دراسات دقيقة. إن نظام التخطيط الجيد هو الذي يكون أكثر مرونة واقتصادية ويقبل الإضافات والتعديلات على المدى القريب والبعيد ولهذا في الوقت الحالي تحتاج المرافق الكهربائية إلى أداة تخطيط اقتصادية وسريعة لتقييم نواتج الطلبات المختلفة وتقييم تأثيرها على الأنظمة الأخرى وذلك لتوفير وصول الطاقة الاقتصادية والضرورية للمستهلك، فكميات الطاقة الكهربائية التي تصل عبر شبكات التوزيع على شكل طاقة جاهزة للاستخدام يجب أن تكون على درجة عالية من الجودة والأمان ولهذا يمكن القول أن الهدف الأساسي من التخطيط هو إنشاء شبكات قابلة للزيادة والتوسعة مع زيادة نمو كثافة الحمل واقتراحات المستقبلية. [12]. لقد أصبحت مشاكل تصميم منظومة القدرة معقدة جداً بسبب صعوبة تنفيذ الحسابات يدوياً وبالمشاهدة أصبحت مشاكل التشغيل أكثر تعقيداً بحيث بات من الضروري مساعدة مهندسي التشغيل بواسطة الكمبيوتر بوحدة التحكم لاستهداف الاقتصاد الأكثر. يوضح الشكل (3) خوارزمية العمل عند التخطيط لتصميم نظام قدرة مثالي قدرة مثالي.



الشكل 3: خوارزمية العمل عند التخطيط لتصميم نظام

### العوامل المؤثرة على توقع الحمل

يعتمد تجهيز الكهرباء على التخطيط لأنظمة سعتها تلي متطلبات الحمل الأقصى. لذلك نمو الحمل لمنطقة جغرافية هو العامل الأكثر تأثيراً على توسع نظام التوزيع لذا توقع ازدياد الأحمال ورد فعل النظام لهذه الزيادات ضروري لعملية التخطيط. الشكل (4) يوضح العوامل المؤثرة على توقع الحمل [13].

### التخطيط المستقبلي

التخطيط يسهل على نظام القدرة الكهربائي عملية برمجة التوسع وتحسين النظام إذا أخذ بعين الاعتبار مستقبل نمو الحمل على المدى البعيد لهذا التخطيط الجيد يمكنه استيعاب زيادة الأحمال لعدة سنوات مستقبلية. ويوجد نوعان من التخطيط المستقبلي هما:

من خلال تحليل النتائج بالشكل (5) والجداول (2)، (3) لعناصر الشبكة وجد تحميل زائد على بعض عناصر الشبكة لسنة 2017 وكذلك وجد أن هناك محولات محملة أكثر من الحد المسموح به وهي:

الخضروات وقدرته 500 kV، الاسواق وقدرته 500 kV.

ب- نتائج تحليل نظام توزيع الطاقة الكهربائية في ترهونة المدينة بمحطة 30kV باستخدام برنامج NEPLAN لسنة 2021:

من خلال معامل نمو حمل سنوي 8% والذي يأخذ بعين الاعتبار كل العوامل المؤثرة على نمو الحمل وكذلك مقدار التحميل لسنة 2017 الذي قيمته ( 4.913 MVA )، وتطبيق المعادلة (2) نحصل على مقدار التحميل الاجمالي لسنة 2021 كالآتي:

$$S_{(2021)} = 4.913(1 + 0.08)^4 = 6.684 \text{ MVA}$$

وتطبيق المعادلة (2) على مقدار التحميل لكل محول لسنة 2017 نستنتج نسب التحميل المتوقعة لسنة 2021 على هذه المحولات، النتائج مدرجة بالجدول (4).

الجدول 4: نسب التحميل المتوقعة لمحولات توزيع (11kV/0.4 kV) في شبكة القدرة الكهربائية لمنطقة ترهونة المدينة لسنة 2021م.

| اسم المحول      | قدرة المحول (kVA) | نسبة التحميل لسنة 2017 (kVA) | نسبة التحميل لسنة 2021 (kVA) |
|-----------------|-------------------|------------------------------|------------------------------|
| معسكر الجيش     | 200               | 81                           | 110                          |
| البلدية         | 500               | 301                          | 409                          |
| النسيج          | 500               | 275                          | 374                          |
| التامين         | 500               | 121                          | 164                          |
| الفاشونية       | 1000              | 304                          | 413                          |
| ابي ذر          | 500               | 140                          | 190                          |
| بريش            | 500               | 278                          | 378                          |
| الاسواق         | 500               | 412                          | 560                          |
| الخضروات        | 500               | 529                          | 719                          |
| مدخل المستشفى   | 500               | 199                          | 270                          |
| بيوت الطالبات   | 500               | 240                          | 326                          |
| غنائم           | 500               | 268                          | 364                          |
| المستشفى الجديد | 500               | 98                           | 133                          |
| العزائمية       | 500               | 189                          | 257                          |
| المركز الصحي    | 500               | 348                          | 473                          |
| اللحوم          | 500               | 329                          | 447                          |
| 101             | 500               | 180                          | 244                          |
| صلاح الدين      | 1000              | 329                          | 447                          |
| الضمان 1        | 500               | 118                          | 160                          |
| الضمان 2        | 500               | 174                          | 236                          |
| الاجمالي (MVA)  |                   | 4.913                        | 6.684                        |

يبين الشكل (6) مخطط مقارنة نمو الاحمال بين سنة 2017- 2021 لجميع المحولات الكهربائية في ترهونة المدينة بمحطة 30 kV.

أما الشكل (7) فيوضح نمو الاحمال للسنوات 2017 - 2021 للمحولات الكهربائية في ترهونة المدينة بمحطة 30 kV، حسابات الزيادة في الحمل لهذه السنوات موضحة بالجدول (5) حيث تم حسابها من المعادلة (2).

الجدول 5: نمو الاحمال للسنوات 2017 - 2021 للمحولات الكهربائية في ترهونة المدينة بمحطة 30 kV.

| السنة      | 2017  | 2018  | 2019  | 2020  | 2021  |
|------------|-------|-------|-------|-------|-------|
| القدرة MVA | 4.913 | 5.306 | 5.730 | 6.188 | 6.684 |

شبكة توزيع القدرة الكهربائية لمنطقة ترهونة المدينة شبكة التوزيع الكهربائية لمنطقة ترهونة المدينة ذات الجهد المنخفض (11kV) والمستهدفة في هذه الدراسة والمتمثلة في محولات توزيع (11kV/0.4kV)، نسب التحميل عليها لسنة 2017 مبيته في الجدول (1).

الجدول 1: محولات التوزيع (11kV/0.4 kV) ونسب التحميل عليها في شبكة القدرة الكهربائية لمنطقة ترهونة المدينة لسنة 2017 [18]

| اسم المحول      | عدد المحولات | قدرة المحول (kVA) | نسبة التحميل (kVA) |
|-----------------|--------------|-------------------|--------------------|
| معسكر الجيش     | 1            | 200               | 81                 |
| البلدية         | 1            | 500               | 301                |
| النسيج          | 1            | 500               | 275                |
| التامين         | 1            | 500               | 121                |
| الفاشونية       | 1            | 1000              | 304                |
| ابي ذر          | 1            | 500               | 140                |
| بريش            | 1            | 500               | 278                |
| الاسواق         | 1            | 500               | 412                |
| الخضروات        | 1            | 500               | 529                |
| مدخل المستشفى   | 1            | 500               | 199                |
| بيوت الطالبات   | 1            | 500               | 240                |
| غنائم           | 1            | 500               | 268                |
| المستشفى الجديد | 1            | 500               | 98                 |
| العزائمية       | 1            | 500               | 189                |
| المركز الصحي    | 1            | 500               | 348                |
| اللحوم          | 1            | 500               | 329                |
| 101             | 2            | 500               | 180                |
| صلاح الدين      | 2            | 1000              | 329                |
| الضمان 1        | 1            | 500               | 118                |
| الضمان 2        | 1            | 500               | 174                |

الفرضيات والمعايير المتبعة

أ- معامل القدرة 0.85.

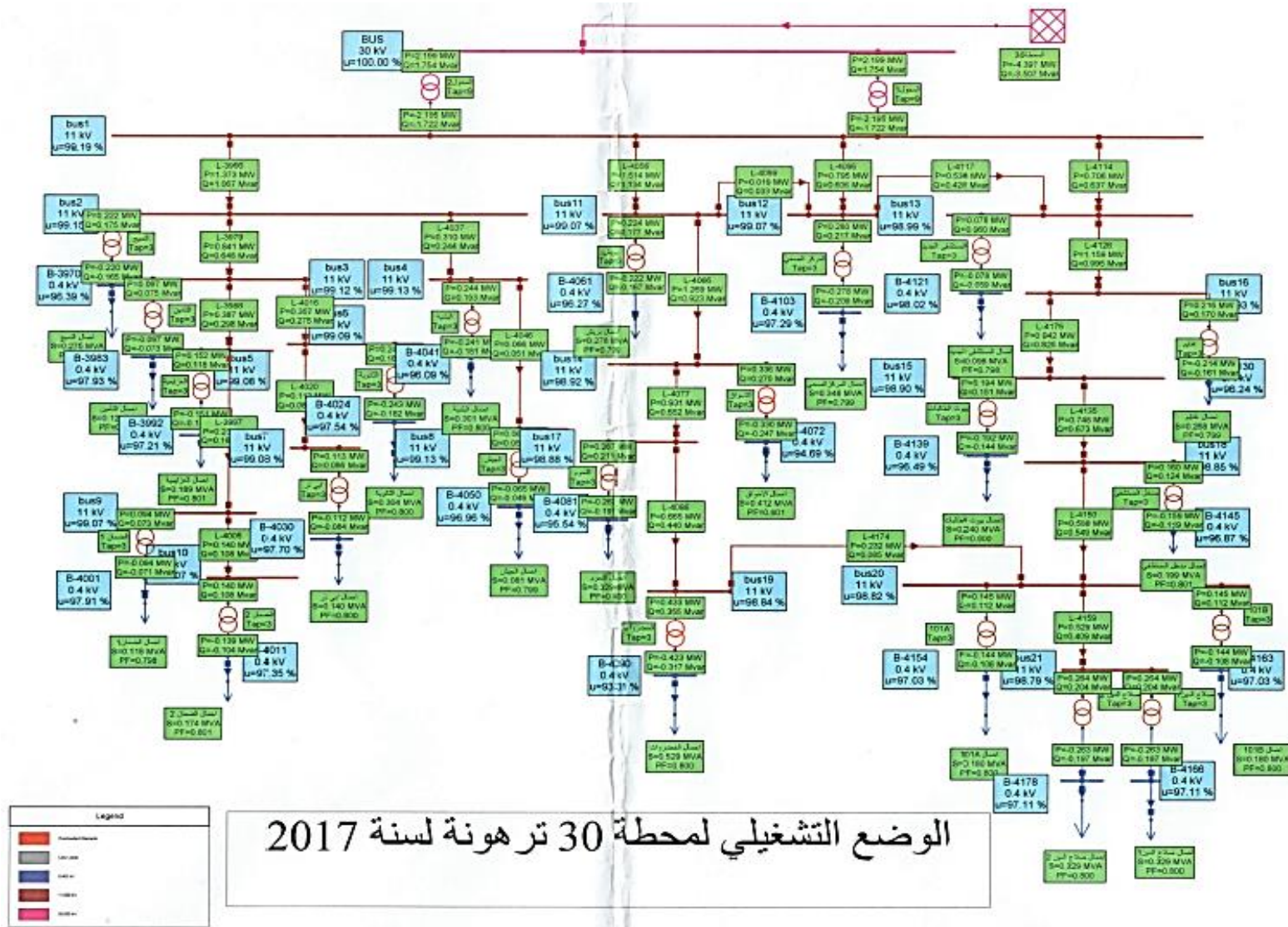
ب- أقصى حمل ممكن على عناصر الشبكة (80%) من مقنناتها.

ج- حدود تنظيم الجهد المسموح به ( $\pm 5\%$ ) وهذه النسبة لا تأخذ كما هي بالضبط عند الشركة العامة للكهرباء بحيث تكون نسبة الزيادة في الجهد المسموح فعلياً بها لا تتجاوز 5% ونسبة الانخفاض التي يسمح بها حتى 10%، والتي سوف تعتمد بهذه الدراسة النسبة ( 110% - 90% ).  
د- معامل نمو الحمل السنوي يكون في حدود 8%.

## النتائج والمناقشة

نتائج تحليل نظام توزيع الطاقة الكهربائية في منطقة ترهونة المدينة لمحطة 30kV باستخدام برنامج NEPLAN لسنة 2017: الشكل (5) يوضح الوضع التشغيلي لمحطة 30 kV بترهونة لسنة 2017 متضمناً نتائج التحليل بعد أن تم ادخال البيانات اللازمة في برنامج NEPLAN، وكذلك الجدول (2) يوضح نتائج التحليل على عناصر الشبكة بمنطقة ترهونة المدينة بمحطة 30 kV لسنة 2017 باستخدام برنامج NEPLAN، وأما الجدول (3) فيبين ملخص تحليل نظام توزيع الطاقة الكهربائية في ترهونة المدينة لمحطة 30 kV لسنة 2017 باستخدام برنامج NEPLAN.





الشكل 5: الوضع التشغيلي لمحطة 30 kV بترهونة لسنة 2017 وعليه نتائج التحليل باستخدام برنامج NEPLAN.



| ID | Name | U<br>kV | u<br>% | U ang<br>° | P Load<br>MW | Q Load<br>MVar |       |
|----|------|---------|--------|------------|--------------|----------------|-------|
| 1  | 3970 | B-3970  | 0.386  | 96.39      | -1.7         | 0.22           | 0.165 |
| 2  | 3983 | B-3983  | 0.392  | 97.93      | -1           | 0.097          | 0.073 |
| 3  | 3992 | B-3992  | 0.389  | 97.21      | -1.3         | 0.151          | 0.113 |
| 4  | 4001 | B-4001  | 0.392  | 97.91      | -1           | 0.094          | 0.071 |
| 5  | 4011 | B-4011  | 0.389  | 97.35      | -1.3         | 0.139          | 0.104 |
| 6  | 4024 | B-4024  | 0.39   | 97.54      | -1.3         | 0.243          | 0.182 |
| 7  | 4030 | B-4030  | 0.391  | 97.7       | -1.1         | 0.112          | 0.084 |
| 8  | 4041 | B-4041  | 0.384  | 96.09      | -1.9         | 0.241          | 0.181 |
| 9  | 4050 | B-4050  | 0.388  | 96.96      | -1.5         | 0.065          | 0.049 |
| 10 | 4061 | B-4061  | 0.385  | 96.27      | -1.8         | 0.222          | 0.167 |
| 11 | 4072 | B-4072  | 0.379  | 94.69      | -2.4         | 0.33           | 0.247 |
| 12 | 4081 | B-4081  | 0.382  | 95.54      | -2           | 0.263          | 0.197 |
| 13 | 4090 | B-4090  | 0.373  | 93.31      | -3           | 0.423          | 0.317 |
| 14 | 4103 | B-4103  | 0.389  | 97.29      | -1.4         | 0.278          | 0.209 |
| 15 | 4121 | B-4121  | 0.392  | 98.02      | -0.9         | 0.078          | 0.059 |
| 16 | 4130 | B-4130  | 0.385  | 96.24      | -1.7         | 0.214          | 0.161 |
| 17 | 4139 | B-4139  | 0.386  | 96.49      | -1.6         | 0.192          | 0.144 |
| 18 | 4145 | B-4145  | 0.387  | 96.87      | -1.4         | 0.159          | 0.119 |
| 19 | 4154 | B-4154  | 0.388  | 97.03      | -1.3         | 0.144          | 0.108 |
| 20 | 4163 | B-4163  | 0.388  | 97.03      | -1.3         | 0.144          | 0.108 |
| 21 | 4166 | B-4166  | 0.388  | 97.11      | -1.3         | 0.263          | 0.197 |
| 22 | 4178 | B-4178  | 0.388  | 97.11      | -1.3         | 0.263          | 0.197 |
| 23 | 4187 | BUS     | 30     | 100        | 0            | 0              | 0     |
| 24 | 3964 | bus1    | 10.911 | 99.19      | -0.5         | 0              | 0     |
| 25 | 3978 | bus10   | 10.898 | 99.07      | -0.5         | 0              | 0     |
| 26 | 4055 | bus11   | 10.898 | 99.07      | -0.5         | 0              | 0     |
| 27 | 4095 | bus12   | 10.897 | 99.07      | -0.5         | 0              | 0     |
| 28 | 4108 | bus13   | 10.889 | 98.99      | -0.5         | 0              | 0     |
| 29 | 4059 | bus14   | 10.881 | 98.92      | -0.5         | 0              | 0     |
| 30 | 4110 | bus15   | 10.879 | 98.9       | -0.5         | 0              | 0     |
| 31 | 4109 | bus16   | 10.882 | 98.93      | -0.5         | 0              | 0     |
| 32 | 4069 | bus17   | 10.876 | 98.88      | -0.5         | 0              | 0     |
| 33 | 4111 | bus18   | 10.874 | 98.85      | -0.5         | 0              | 0     |
| 34 | 4070 | bus19   | 10.872 | 98.84      | -0.5         | 0              | 0     |
| 35 | 3965 | bus2    | 10.907 | 99.15      | -0.5         | 0              | 0     |
| 36 | 4112 | bus20   | 10.87  | 98.82      | -0.5         | 0              | 0     |
| 37 | 4113 | bus21   | 10.867 | 98.79      | -0.5         | 0              | 0     |
| 38 | 3975 | bus3    | 10.904 | 99.12      | -0.5         | 0              | 0     |
| 39 | 4035 | bus4    | 10.905 | 99.13      | -0.5         | 0              | 0     |
| 40 | 3976 | bus5    | 10.899 | 99.08      | -0.5         | 0              | 0     |
| 41 | 4009 | bus6    | 10.9   | 99.09      | -0.5         | 0              | 0     |
| 42 | 4019 | bus7    | 10.898 | 99.08      | -0.5         | 0              | 0     |
| 43 | 4036 | bus8    | 10.904 | 99.13      | -0.5         | 0              | 0     |
| 44 | 3977 | bus9    | 10.898 | 99.07      | -0.5         | 0              | 0     |

| Element name | Type   | P MW        | Q Mvar | I kA   | Loadin % | P Loss MW | Q Loss Mvar |        |
|--------------|--------|-------------|--------|--------|----------|-----------|-------------|--------|
| 53           | L-4056 | Line        | 1.514  | 1.134  | 0.1      | 27.57     | 0.0017      | 0.0016 |
| 54           | L-4005 | Line        | -0.14  | -0.108 | 0.009    | 3.34      | 0           | 0      |
| 55           | L-4099 | 2W Transfor | 0.14   | 0.108  | 0.009    | 35.33     | 0.001       | 0.0038 |
| 56           | L-4099 | Line        | 0.019  | 0.003  | 0.002    | 0.55      | 0           | 0      |
| 57           | L-4056 | Line        | -1.513 | -1.132 | 0.1      | 27.57     | 0.0017      | 0.0016 |
| 58           | L-4066 | 2W Transfor | 0.224  | 0.177  | 0.015    | 57.17     | 0.0025      | 0.01   |
| 59           | L-4096 | Line        | -1.266 | -0.923 | 0.083    | 29.69     | 0.002       | 0.0013 |
| 60           | L-4096 | Line        | -0.794 | -0.605 | 0.053    | 14.57     | 0.0009      | 0.0009 |
| 61           | L-4099 | Line        | -0.019 | -0.033 | 0.002    | 0.55      | 0           | 0      |
| 62           | L-4117 | 2W Transfor | 0.28   | 0.217  | 0.019    | 35.42     | 0.0017      | 0.0083 |
| 63           | L-4117 | Line        | 0.534  | 0.42   | 0.036    | 12.85     | 0.0005      | 0.0003 |
| 64           | L-4114 | Line        | -0.704 | -0.636 | 0.05     | 13.86     | 0.0014      | 0.0014 |
| 65           | L-4117 | Line        | -0.533 | -0.42  | 0.036    | 12.85     | 0.0005      | 0.0003 |
| 66           | L-4126 | 2W Transfor | 0.078  | 0.06   | 0.005    | 19.75     | 0.0003      | 0.0012 |
| 67           | L-4126 | Line        | 1.159  | 0.995  | 0.081    | 22.32     | 0.0006      | 0.0006 |
| 68           | L-4066 | Line        | -1.267 | -0.921 | 0.083    | 29.69     | 0.002       | 0.0013 |
| 69           | L-4077 | 2W Transfor | 0.336  | 0.27   | 0.023    | 86.11     | 0.0057      | 0.0228 |
| 70           | L-4077 | Line        | 0.931  | 0.652  | 0.06     | 21.54     | 0.0004      | 0.0003 |
| 71           | L-4135 | Line        | 0.748  | 0.673  | 0.053    | 14.71     | 0.0003      | 0.0003 |
| 72           | L-4179 | 2W Transfor | 0.194  | 0.151  | 0.013    | 49.19     | 0.0019      | 0.0074 |
| 73           | L-4179 | Line        | -0.942 | -0.824 | 0.066    | 18.3      | 0.0003      | 0.0003 |
| 74           | L-4126 | Line        | -1.159 | -0.995 | 0.081    | 22.32     | 0.0006      | 0.0006 |
| 75           | L-4179 | 2W Transfor | 0.216  | 0.17   | 0.015    | 55.06     | 0.0023      | 0.0093 |
| 76           | L-4179 | Line        | 0.942  | 0.825  | 0.066    | 18.3      | 0.0003      | 0.0003 |
| 77           | L-4086 | 2W Transfor | 0.267  | 0.211  | 0.018    | 68.01     | 0.0035      | 0.0141 |
| 78           | L-4086 | Line        | 0.665  | 0.44   | 0.042    | 15.11     | 0.0003      | 0.0002 |
| 79           | L-4077 | Line        | -0.931 | -0.651 | 0.06     | 21.54     | 0.0004      | 0.0003 |
| 80           | L-4135 | Line        | -0.748 | -0.673 | 0.053    | 14.71     | 0.0003      | 0.0003 |
| 81           | L-4135 | 2W Transfor | 0.16   | 0.124  | 0.011    | 40.53     | 0.0013      | 0.005  |
| 82           | L-4150 | Line        | 0.588  | 0.549  | 0.043    | 11.76     | 0.0002      | 0.0002 |
| 83           | L-4086 | Line        | -0.664 | -0.44  | 0.042    | 15.11     | 0.0003      | 0.0002 |
| 84           | L-4179 | 2W Transfor | 0.433  | 0.355  | 0.03     | 111.94    | 0.0096      | 0.0382 |
| 85           | L-4174 | Line        | 0.232  | 0.085  | 0.013    | 3.61      | 0           | 0      |
| 86           | L-3966 | Line        | -1.373 | -1.067 | 0.092    | 25.36     | 0.0005      | 0.0005 |
| 87           | L-3979 | 2W Transfor | 0.222  | 0.175  | 0.015    | 56.57     | 0.0024      | 0.0087 |
| 88           | L-3979 | Line        | 0.841  | 0.648  | 0.056    | 20.08     | 0.0003      | 0.0002 |
| 89           | L-4037 | Line        | 0.31   | 0.244  | 0.021    | 5.75      | 0.0001      | 0.0001 |
| 90           | L-4150 | Line        | -0.587 | -0.548 | 0.043    | 11.76     | 0.0002      | 0.0002 |
| 91           | L-4159 | 2W Transfor | 0.145  | 0.112  | 0.01     | 36.66     | 0.001       | 0.0041 |
| 92           | L-4159 | Line        | 0.529  | 0.409  | 0.036    | 9.79      | 0.0001      | 0.0001 |
| 93           | L-101B | 2W Transfor | 0.145  | 0.112  | 0.01     | 36.66     | 0.001       | 0.0041 |
| 94           | L-4174 | Line        | -0.232 | -0.085 | 0.013    | 3.61      | 0           | 0      |
| 95           | L-4159 | Line        | -0.529 | -0.409 | 0.036    | 9.79      | 0.0001      | 0.0001 |
| 96           | L-4159 | 2W Transfor | 0.264  | 0.204  | 0.018    | 33.43     | 0.0015      | 0.0074 |
| 97           | L-4159 | 2W Transfor | 0.264  | 0.204  | 0.018    | 33.43     | 0.0015      | 0.0074 |
| 98           | L-3979 | Line        | -0.841 | -0.648 | 0.056    | 20.08     | 0.0003      | 0.0002 |
| 99           | L-3979 | 2W Transfor | 0.097  | 0.075  | 0.007    | 24.58     | 0.0005      | 0.0018 |
| 100          | L-3988 | Line        | 0.387  | 0.298  | 0.026    | 9.23      | 0.0002      | 0.0001 |
| 101          | L-4016 | Line        | 0.357  | 0.275  | 0.024    | 8.52      | 0.0001      | 0.0001 |
| 102          | L-4037 | Line        | -0.31  | -0.244 | 0.021    | 5.75      | 0.0001      | 0.0001 |
| 103          | L-4046 | 2W Transfor | 0.244  | 0.193  | 0.016    | 62.18     | 0.0029      | 0.0118 |
| 104          | L-4046 | Line        | 0.066  | 0.051  | 0.004    | 1.57      | 0           | 0      |

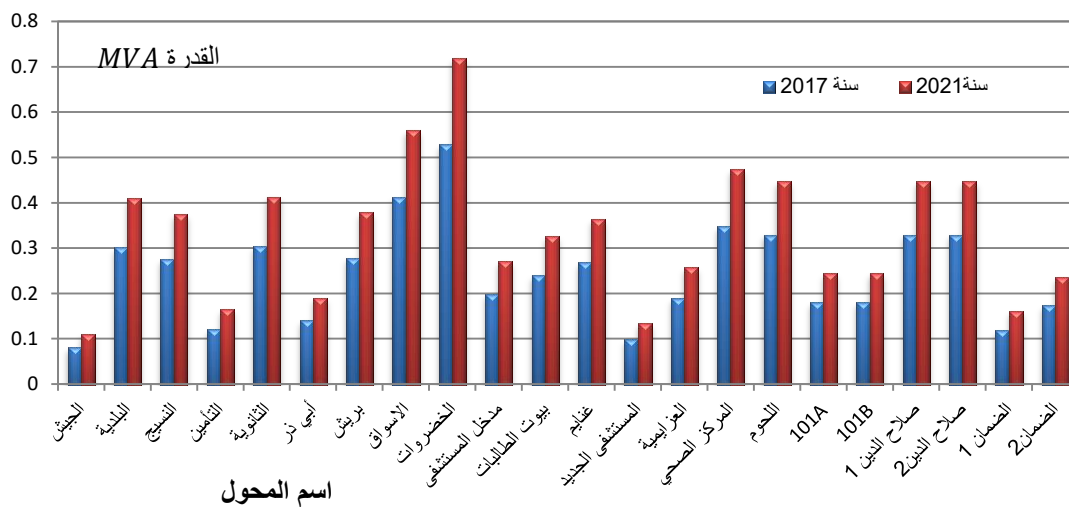
| Element name | Type   | P MW        | Q Mvar | I kA   | Loadin % | P Loss MW | Q Loss Mvar |        |
|--------------|--------|-------------|--------|--------|----------|-----------|-------------|--------|
| 105          | L-3988 | Line        | -0.387 | -0.298 | 0.026    | 9.23      | 0.0002      | 0.0001 |
| 106          | L-3997 | 2W Transfor | 0.152  | 0.118  | 0.01     | 38.45     | 0.0011      | 0.0045 |
| 107          | L-3997 | Line        | 0.234  | 0.181  | 0.016    | 5.6       | 0           | 0      |
| 108          | L-4016 | Line        | -0.357 | -0.275 | 0.024    | 8.52      | 0.0001      | 0.0001 |
| 109          | L-4020 | Line        | 0.113  | 0.086  | 0.008    | 2.69      | 0           | 0      |
| 110          | L-4020 | 2W Transfor | 0.244  | 0.188  | 0.016    | 39.84     | 0.0013      | 0.0063 |
| 111          | L-4020 | Line        | -0.113 | -0.086 | 0.008    | 2.69      | 0           | 0      |
| 112          | L-4046 | 2W Transfor | 0.113  | 0.086  | 0.008    | 28.4      | 0.0006      | 0.0025 |
| 113          | L-4046 | Line        | -0.066 | -0.051 | 0.004    | 1.57      | 0           | 0      |
| 114          | L-3997 | 2W Transfor | 0.066  | 0.051  | 0.004    | 41.61     | 0.0006      | 0.0023 |
| 115          | L-3997 | Line        | -0.234 | -0.181 | 0.016    | 5.6       | 0           | 0      |
| 116          | L-4005 | 2W Transfor | 0.094  | 0.073  | 0.006    | 23.84     | 0.0004      | 0.0017 |
| 117          | L-4005 | Line        | 0.14   | 0.108  | 0.009    | 3.34      | 0           | 0      |

| Element name | Type                | P MW        | Q Mvar | I kA   | Loadin % | P Loss MW | Q Loss Mvar |        |
|--------------|---------------------|-------------|--------|--------|----------|-----------|-------------|--------|
| 1            | السيح               | 2W Transfor | -0.22  | -0.165 | 0.412    | 55        | 0.0024      | 0.0097 |
| 2            | احمال السيح         | Load        | 0.22   | 0.165  | 0.412    |           |             |        |
| 3            | التكليس             | 2W Transfor | -0.097 | -0.073 | 0.179    | 24.28     | 0.0005      | 0.0018 |
| 4            | احمال التكليس       | Load        | 0.097  | 0.073  | 0.179    |           |             |        |
| 5            | الغرايمية           | 2W Transfor | -0.151 | -0.113 | 0.28     | 37.72     | 0.0011      | 0.0045 |
| 6            | احمال الغرايمية     | Load        | 0.151  | 0.113  | 0.28     |           |             |        |
| 7            | احمال الضمان 1      | Load        | 0.094  | 0.071  | 0.174    |           |             |        |
| 8            | الضمان 1            | 2W Transfor | -0.094 | -0.071 | 0.174    | 23.56     | 0.0004      | 0.0017 |
| 9            | الضمان 2            | 2W Transfor | -0.139 | -0.104 | 0.257    | 34.72     | 0.001       | 0.0038 |
| 10           | احمال الضمان 2      | Load        | 0.139  | 0.104  | 0.257    |           |             |        |
| 11           | القانونية           | 2W Transfor | -0.243 | -0.182 | 0.449    | 30.36     | 0.0013      | 0.0063 |
| 12           | احمال القانونية     | Load        | 0.243  | 0.182  | 0.449    |           |             |        |
| 13           | الاسواق             | 2W Transfor | -0.112 | -0.084 | 0.207    | 28        | 0.0006      | 0.0025 |
| 14           | احمال ابي ذر        | Load        | 0.112  | 0.084  | 0.207    |           |             |        |
| 15           | البلدية             | 2W Transfor | -0.241 | -0.181 | 0.453    | 60.28     | 0.0029      | 0.0118 |
| 16           | احمال البلدية       | Load        | 0.241  | 0.181  | 0.453    |           |             |        |
| 17           | الجيش               | 2W Transfor | -0.065 | -0.049 | 0.121    | 40.7      | 0.0006      | 0.0023 |
| 18           | احمال الجيش         | Load        | 0.065  | 0.049  | 0.121    |           |             |        |
| 19           | بريش                | 2W Transfor | -0.222 | -0.167 | 0.416    | 55.56     | 0.0025      | 0.01   |
| 20           | احمال بريش          | Load        | 0.222  | 0.167  | 0.416    |           |             |        |
| 21           | الاسواق             | 2W Transfor | -0.33  | -0.247 | 0.628    | 82.44     | 0.0057      | 0.0226 |
| 22           | احمال الاسواق       | Load        | 0.33   | 0.247  | 0.628    |           |             |        |
| 23           | الحدوم              | 2W Transfor | -0.263 | -0.197 | 0.496    | 65.72     | 0.0035      | 0.0141 |
| 24           | احمال الحدوم        | Load        | 0.263  | 0.197  | 0.496    |           |             |        |
| 25           | الخنصرات            | 2W Transfor | -0.423 | -0.317 | 0.818    | 105.72    | 0.0096      | 0.0382 |
| 26           | احمال الخنصرات      | Load        | 0.423  | 0.317  | 0.818    |           |             |        |
| 27           | المركز الصمعي       | 2W Transfor | -0.278 | -0.209 | 0.516    | 34.70     | 0.0017      | 0.0083 |
| 28           | احمال المركز الصمعي | Load        | 0.278  | 0.209  | 0.516    |           |             |        |
| 29           | المستشفى الجديد     | 2W Transfor | -0.078 | -0.059 | 0.144    | 19.56     | 0.0003      | 0.0012 |
| 30           | احمال المستشفى ا    | Load        | 0.078  | 0.059  | 0.144    |           |             |        |
| 31           | غنايم               | 2W Transfor | -0.214 | -0.161 | 0.402    | 53.56     | 0.0023      | 0.0093 |
| 32           | احمال غنايم         | Load        | 0.214  | 0.161  | 0.402    |           |             |        |
| 33           | بيوت الطذايات       | 2W Transfor | -0.192 | -0.144 | 0.359    | 48        | 0.0019      | 0.0074 |
| 34           | احمال بيوت الطذايات | Load        | 0.192  | 0.144  | 0.359    |           |             |        |
| 35           | مدخل المستشفى       | 2W Transfor | -0.159 | -0.119 | 0.296    | 39.72     |             |        |



الجدول 3: ملخص تحليل نظام توزيع الطاقة الكهربائية في مدينة ترهونة لمحطة 30 kV لسنة 2017 باستخدام برنامج NEPLAN.

|   | From      | To        | P Loss    | Q Loss    | P Imp     | Q Imp    | P Gen | Q Gen | P Load | Q Load |
|---|-----------|-----------|-----------|-----------|-----------|----------|-------|-------|--------|--------|
|   | Area/Zone | Area/Zone | MW        | MVar      | MW        | MVar     | MW    | MVar  | MW     | MVar   |
| 1 | Network   |           | 0.062     | 0.255     | 4.397     | 3.507    | 4.397 | 3.507 | 4.335  | 3.252  |
| 2 | Area 1    |           | 0.062     | 0.255     | 0         | 0        | 4.397 | 3.507 | 4.335  | 3.252  |
| 3 | Zone 1    |           | 0.062     | 0.255     | 0         | 0        | 4.397 | 3.507 | 4.335  | 3.252  |
| 4 |           |           |           |           |           |          |       |       |        |        |
| 5 | Un        |           | P Loss Li | Q Loss Li | P Loss Tr | Q Loss T |       |       |        |        |
| 6 | kV        |           | MW        | MVar      | MW        | MVar     |       |       |        |        |
| 7 | 11        |           | 0.01      | 0.008     | 0.044     | 0.184    |       |       |        |        |
| 8 | 30        |           | 0         | 0         | 0.008     | 0.063    |       |       |        |        |
| 9 |           |           |           |           |           |          |       |       |        |        |
| 1 | Overloads |           |           |           |           |          |       |       |        |        |
| 1 | Elements  | %         | Type      |           |           |          |       |       |        |        |
| 1 | الخصروات  | 111.94    | 2W Transf |           |           |          |       |       |        |        |
| 1 | الاسواق   | 86.11     | 2W Transf |           |           |          |       |       |        |        |



الشكل (6): مقارنة نمو الأحمال في السنوات 2017 - 2021 للمحولات الكهربائية في ترهونة المدينة بمحطة 30 kV.

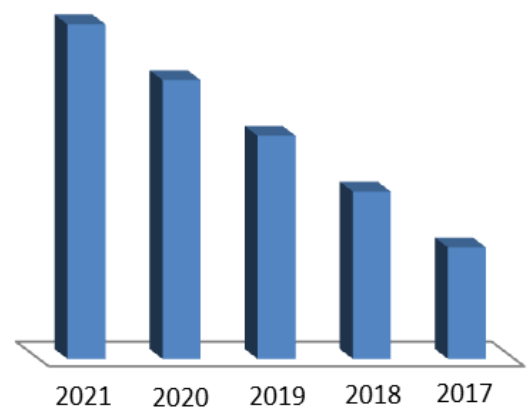
عناصر الشبكة لسنة 2021 وكذلك وجدت محولات محملة أكثر من الحد المسموح به وهي:

- اللحوم وقدرته 500 kVA.
- الاسواق وقدرته 500 kVA.
- الخصروات وقدرته 500 kVA.
- البلدية وقدرته 500 kVA.

والمقترح لحل هذه المشكلة هو تغيير هذه المحولات بمحولات أخرى ذات قدرات أكبر كما موضح بالجدول (7).

الجدول 7: قدرات المحولات المقترحة بدل المحولات القديمة التي ظهر بها مشاكل.

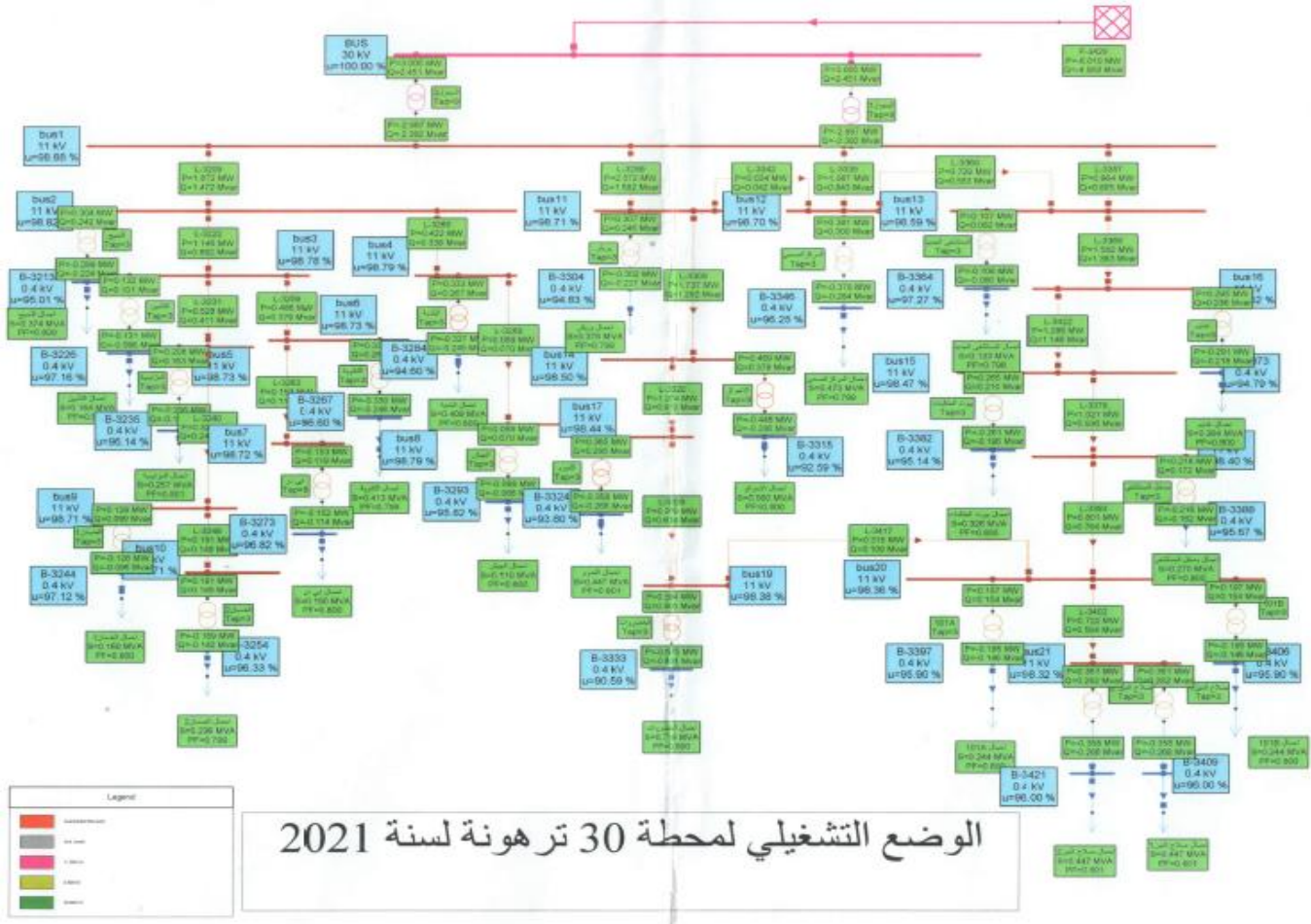
| المحول   | قدرة المحول القديم، kVA | قدرة المحول المقترح، kVA |
|----------|-------------------------|--------------------------|
| اللحوم   | 500                     | 630                      |
| الاسواق  | 500                     | 750                      |
| الخصروات | 500                     | 1000                     |
| البلدية  | 500                     | 630                      |



الشكل 7: نمو الأحمال لمحطة 30kV ترهونة للسنوات من 2017-2021.

الشكل (8) يوضح الوضع التشغيلي لمحطة 30 kV بترهونة لسنة 2021 وعليه نتائج التحليل بعد ادخال البيانات اللازمة في برنامج NEPLAN. أما الجدول (6) فيبين ملخص تحليل نظام توزيع الطاقة الكهربائية في مدينة ترهونة لمحطة 30 kV لسنة 2021 باستخدام برنامج NEPLAN. من خلال تحليل النتائج بالشكل (8) والجدول (6) لعناصر شبكة ترهونة المدينة وجدت العديد من المشاكل بالشبكة من تحميل زائد على بعض





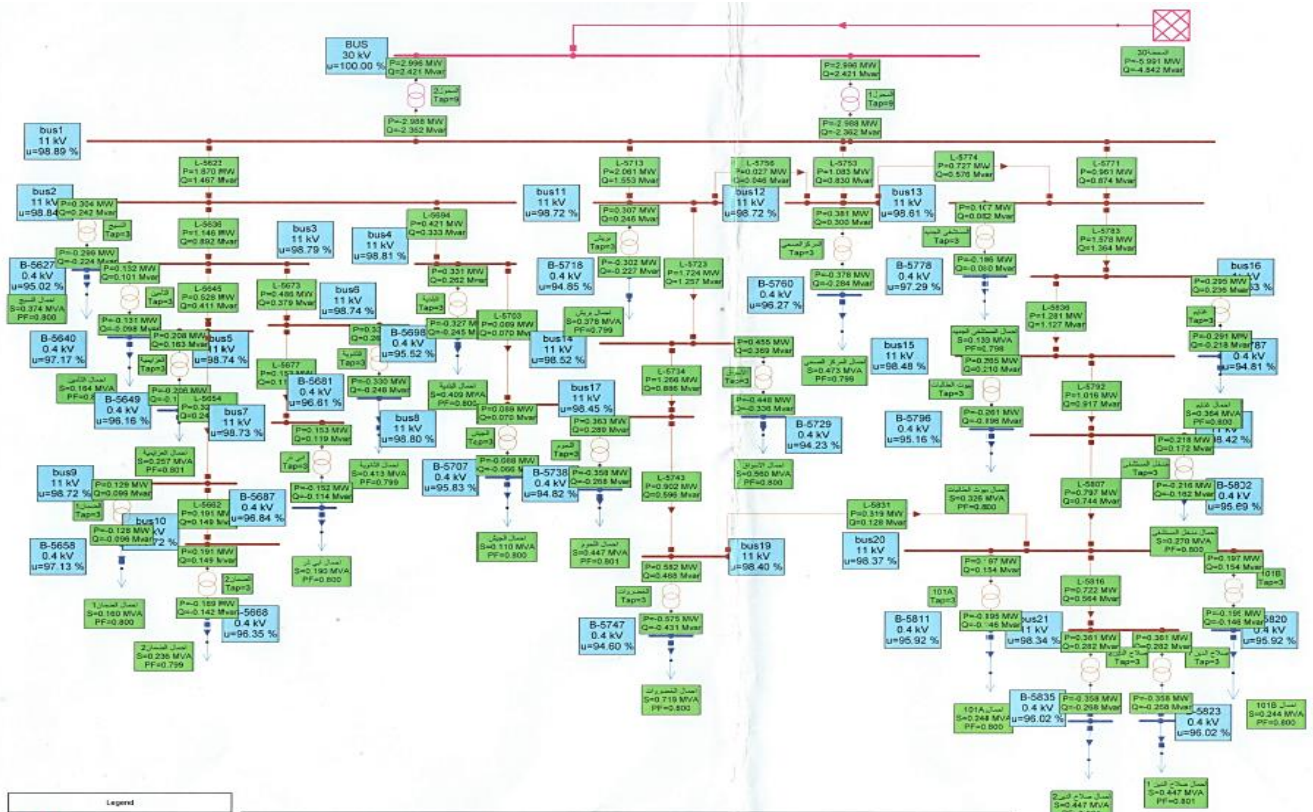
الشكل 8: يوضح الوضع التشغيلي لمحطة 30 kV بثرهونة لسنة 2021 وعليه نتائج التحليل باستخدام برنامج NEPLAN.

الجدول 6: ملخص تحليل نظام توزيع الطاقة الكهربائية في مدينة ترهونة لمحطة 30 kV لسنة 2021 باستخدام برنامج NEPLAN.

|   | From      | To        | P Loss    | Q Loss | P Imp     | Q Imp | P Gen     | Q Gen | P Load   | Q Load |
|---|-----------|-----------|-----------|--------|-----------|-------|-----------|-------|----------|--------|
|   | Area/Zone | Area/Zone | MW        | MVar   | MW        | MVar  | MW        | MVar  | MW       | MVar   |
| 1 | Network   |           | 0.119     | 0.486  | 6.01      | 4.903 | 6.01      | 4.903 | 5.891    | 4.417  |
| 2 | Area 1    |           | 0.119     | 0.486  | 0         | 0     | 6.01      | 4.903 | 5.891    | 4.417  |
| 3 | Zone 1    |           | 0.119     | 0.486  | 0         | 0     | 6.01      | 4.903 | 5.891    | 4.417  |
| 4 |           |           |           |        |           |       |           |       |          |        |
| 5 | Un        |           | P Loss Li |        | Q Loss Li |       | P Loss Tr |       | Q Loss T |        |
| 6 | kV        |           | MW        | MVar   | MW        | MVar  |           |       |          |        |
| 7 | 11        |           | 0.019     | 0.016  | 0.085     | 0.35  |           |       |          |        |
| 8 | 30        |           | 0         | 0      | 0.015     | 0.12  |           |       |          |        |
| 9 |           |           |           |        |           |       |           |       |          |        |
| 1 | Overloads |           |           |        |           |       |           |       |          |        |
| 1 | Elements  | %         | Type      |        |           |       |           |       |          |        |
| 1 | الخطوات   | 155.91    | 2W Transf |        |           |       |           |       |          |        |
| 1 | الاسواق   | 119.09    | 2W Transf |        |           |       |           |       |          |        |
| 1 | البحوم    | 93.84     | 2W Transf |        |           |       |           |       |          |        |
| 1 | البلدية   | 85.33     | 2W Transf |        |           |       |           |       |          |        |

ومن خلال تحليل النتائج بالشكل (9) والجدول (8) لعناصر شبكة ترهونة المدينة فإنه لا يوجد أي تحميل زائد على عناصر الشبكة لسنة 2021 المعدلة وكذلك عدم وجود محولات محملة أكثر من الحد المسموح أو هبوط غير مقبول في الجهد عند العقد. ويلاحظ أنه حدث تحسن واضح في أداء الشبكة من حيث التحميل والقدرات المفقودة في بعض المحولات وكذلك في قيم الجهد وزوايا الجهد عند العقد مقارنة بالحالة السابقة في الفقرة (ب)

ج- نتائج تحليل نظام توزيع الطاقة الكهربائية في ترهونة المدينة المعدلة بمحطة 30 kV باستخدام برنامج NEPLAN لسنة 2021. الشكل (9) يوضح الوضع التشغيلي لمحطة 30 kV بثرهونة لسنة 2021 المعدلة وعليه نتائج التحليل بعد تغيير قدرات المحولات التي ظهرت بها مشاكل بالمحولات المقترحة كما بالجدول (7)، بعد ادخال البيانات اللازمة في برنامج NEPLAN، وكذلك الجدول (8) يبين ملخص تحليل نظام توزيع الطاقة الكهربائية في مدينة ترهونة لمحطة 30 kV لسنة 2021 المعدلة باستخدام برنامج NEPLAN.



الوضع التشغيلي لمحطة 30 ترهونة لسنة 2021 المعدلة

الشكل 9: يوضح الوضع التشغيلي لمحطة 30 kV ترهونة لسنة 2021 المعدلة وعليه نتائج التحليل باستخدام برنامج NEPLAN.

الجدول 8: ملخص تحليل نظام توزيع الطاقة الكهربائية في مدينة ترهونة لمحطة 30 kV لسنة 2021 المعدلة باستخدام برنامج NEPLAN.

| From      | To        | P Loss    | Q Loss | P Imp     | Q Imp | P Gen     | Q Gen | P Load   | Q Load |
|-----------|-----------|-----------|--------|-----------|-------|-----------|-------|----------|--------|
| Area/Zone | Area/Zone | MW        | MVar   | MW        | MVar  | MW        | MVar  | MW       | MVar   |
| 1         | Network   | 0.1       | 0.425  | 5.991     | 4.842 | 5.991     | 4.842 | 5.891    | 4.417  |
| 2         | Area 1    | 0.1       | 0.425  | 0         | 0     | 5.991     | 4.842 | 5.891    | 4.417  |
| 3         | Zone 1    | 0.1       | 0.425  | 0         | 0     | 5.991     | 4.842 | 5.891    | 4.417  |
| 4         |           |           |        |           |       |           |       |          |        |
| 5         | Un        | P Loss Li |        | Q Loss Li |       | P Loss Tr |       | Q Loss T |        |
| 6         | kV        | MW        | MVar   | MW        | MVar  |           |       |          |        |
| 7         | 11        | 0.019     | 0.016  | 0.067     | 0.292 |           |       |          |        |
| 8         | 30        | 0         | 0      | 0.015     | 0.118 |           |       |          |        |

التشغيلي لسريان القدرة وجدول نتائج البرنامج لعناصر الشبكة في منطقة ترهونة المدينة لمحطة 30 kV باستخدام برنامج NEPLAN كالاتي:  
 أ- لسنة 2017، مقدار التحميل الاجمالي بلغت قيمته (4.913 MVA)، وجود تحميل زائد على بعض عناصر الشبكة وأيضاً وجود محولات محملة أكثر من الحد المسموح به وهي محول (الخضروات وقدرته 500 kV، الأسواق وقدرته 500 kV).  
 ب- لسنة 2021، مقدار التحميل الاجمالي بلغت قيمته (6.684 MVA)، وجود العديد من المشاكل بالشبكة من تحميل زائد على بعض العناصر وكذلك وجدت محولات محملة أكثر من الحد المسموح به وهي محول (اللحوم وقدرته 500 kVA، الأسواق وقدرته 500 kVA، الخضروات وقدرته 500 kVA، البلدية وقدرته 500 kVA).  
 والمقترح لحل هذه المشاكل التي ظهرت بالشبكة هو تبديل المحولات القديمة التي ظهرت بها مشاكل بمحولات أخرى ذات قدرات أكبر كما بالجدول (7).

الاستنتاجات

في هذه الدراسة تم تحليل وتخطيط قصير الأجل (أربع سنوات) لشبكة توزيع الطاقة الكهربائية لمنطقة ترهونة المدينة لمواجهة تحديات الطلب على القدرة الكهربائية والأحمال المستقبلية والتوسع المقترح لها وذلك باستخدام برنامج NEPLAN وهو برنامج المحاكاة التفاعلي الذي يتم استخدامه من قبل الشركة العامة للكهرباء في تحليل نظم القوى الكهربائية، ومن تطبيقاته حساب تدفق القدرة وحساب الأخطاء، حيث يعتبر حساب تدفق القدرة من الإجراءات الأساسية في تحليل نظم القوى الكهربائية عند اشتغالها وكذلك حساب الأخطاء، حيث أظهر استخدام برنامج NEPLAN المرونة بشكل كبير في التحليل والتخطيط والتصميم والتحكم والتشغيل عند أفضل الظروف الملائمة وأيضاً يُتيح البرنامج تصوراً شاملاً على تصرف نظم القوى حيال التعديلات التي تم إجراؤها عليها.  
 وكانت نتائج تحليل نظام توزيع الطاقة الكهربائية من خلال المخطط



- [2] A. Bora, et al. "Load flow analysis and loss reduction of 33/11kV distribution substation with least cost implementation," International Journal of Advance Research and Innovative Ideas in Education, vol.5, no.3, pp.1288-1292, 2019.
- [3] موقع ويكيبيديا، ترهونة. تاريخ الاسترجاع: 2023\11\05. نشر بموقع <https://ar.wikipedia.org/wiki/%D8%AA%D8%B1%D9%87%D9%88%D9%86%D8%A9>.
- [4] www.neplan.com. Accessed date: 2<sup>nd</sup> November 2022.
- [5] U. Roland, and O. Eseosa, "Reliability prediction of port harcourt electricity distribution network using NEPLAN," The International Journal Of Engineering And Science (IJES), vol. 3, no.12, pp.68-79, 2014.
- [6] Y. Khalil, "Power distribution network modelling: NEPLAN/loss calculation", retrieved on 05- 11-2023 from: [https://www.academia.edu/40981743/power\\_distribution\\_network\\_modelling\\_neplan\\_loss\\_calculation](https://www.academia.edu/40981743/power_distribution_network_modelling_neplan_loss_calculation).
- [7] NEPLAN user's guide electrical, version 5, bcp int.
- [8] الادارة العامة لتصميم وتطوير المناهج، المؤسسة العامة للتعليم الفني والتدريب الفني، تقنية التوزيع الكهربائي، المملكة العربية السعودية، 2019.
- [9] الادارة العامة لتصميم وتطوير المناهج، المؤسسة العامة للتعليم الفني والتدريب الفني، شبكات النقل والتوزيع، المملكة العربية السعودية، 2019.
- [10] The Electrical Installation Guide. retrieved on 09-11-2023. [https://www.electrical-installation.org/enwiki/Maximum\\_voltage\\_drop\\_limit](https://www.electrical-installation.org/enwiki/Maximum_voltage_drop_limit)
- [11] محمد علي أبو علة، تصميم شبكة توزيع كهربائية (11/0.4 kV) لمشروع وحدات سكنية باستخدام البرامج المساعدة. مشروع تخرج. المعهد العالي للصناعة، قسم الهندسة الكهروميكانيكية، شعبة نظم القوى الكهربائية، 2008.
- [12] إبراهيم رحيم ويوسف حميدي، أهمية التخطيط لنظام الطاقة الكهربائية- الجزائر أنموذج، مجلة البحوث والدراسات العلمية، العدد 13، 2019.
- [13] أنيس شاهر، إطلاقات على تخطيط نظم القوى الكهربائية، دراسة التنبؤ بالأحمال. تاريخ الاسترجاع: 2023\11\08. نشر بموقع [https://electricengg.com/load\\_forecast](https://electricengg.com/load_forecast)
- [14] الصديق ميلاد ابعوه، إدارة جانب الطلب على الطاقة الكهربائية بين الفرص والتحديات حالة دراسية للقطاع السكني في ليبيا، رسالة ماجستير في إدارة المشاريع الهندسية، أكاديمية الدراسات العليا فرع مصراته، مدرسة العلوم التطبيقية والهندسية، مصراته- ليبيا، 2016.
- [15] C. Bayliss, Transmission and Distribution Electrical Engineering, Second edition, MPG Books Ltd, UK, 1999.
- [16] إبراهيم الهادي الطويل، خيري قاسم.أغا، إمكانية تسخين المياه المنزلية بالطاقة الشمسية في تحسين إدارة الطلب على الطاقة في ليبيا، مجلة الطاقة الشمسية والمستدامة، المجلد (6)-العدد (1)، 2017.
- [17] Lecture Notes, Electrical Distribution Systems, Institute of Engineering and Technology, Department of Electrical and Electronics Engineering, retrieved on 23-09-2023 from: <https://www.jbiet.edu.in/pdffls/EEE-Coursematerial/EDS-Notes.pdf>
- [18] الشركة العامة للكهرباء – ترهونة.

ج - لسنة 2021 المعدلة (المقترحة)، لا يوجد أي تحميل زائد على عناصر الشبكة وكذلك عدم وجود محولات محملة أكثر من الحد المسموح أو هبوط غير مقبول في الجهد عند العقد. ويلاحظ أنه حدث تحسن واضح في أداء الشبكة من حيث التحميل والقدرات المفقودة في بعض المحولات وكذلك في قيم الجهد وزوايا الجهد عند العقد مقارنة بالحالة السابقة، الفقرة (ب). بهذا تكون هذه الدراسة قد حققت أهدافها.

## التوصيات

أ- نظراً لما تشكله هذه الدراسات من أهمية كبيرة في التخطيط السليم لمشاريع التوسيع في الشبكات الكهربائية وعلى نمط استهلاك الطاقة الكهربائية في جميع القطاعات يوصى بإنجاز المزيد من الدراسات وبصفة دورية لوضع خطط الأحمال الكهربائية وتطورها مع تحديد متطلبات واحتياجات الشبكة الكهربائية الحالية والوقوف على المشاكل الفنية التي تواجهها ومعالجتها في حينها والاسراع في ادخال المشاريع الجديدة مع الاستمرار في إجراء أعمال الصيانة الوقائية لمعدات الشبكة الكهربائية. ب- توصي هذه الدراسة بأجراء البحوث بتخطيط طويل الأجل ( من 10 سنوات فما فوق ) ويدرس بها توقع الطلب على المدى الطويل واقتراح بناء محطة رئيسية حيث يقرر بها مكان وسعة تلك المحطة وكذلك افضل عدد من المغذيات اللازمة، وخاصةً أن مدينة ترهونة تمتلك محطة رئيسية واحدة أصبحت قديمة وتعاني من مشاكل عدة.

ج- وضع استراتيجيات واضحة من قبل الدولة الليبية على المدى المتوسط و البعيد لتغطية الطلب على الطاقة الكهربائية بتطبيق مشروعات الطاقة المتجددة في القطاع المنزلي والمؤسسات والمصانع وزيادة مساهمتها في أنظمة التوليد المستقبلية وتوطينها في مدينة ترهونة بشكل خاص وليبيا بشكل عام مما يؤثر إيجاباً في الحد من الأحمال الكهربائية المستهلكة بالحصول على طاقة نظيفة لتحقيق التنمية المستدامة نتيجة خفض انبعاث الغازات الضارة بالبيئة.

**Author Contributions:** "Conceptualization, Alnaedh, A. A. and Matoug, A. S.; methodology, Al-Behadili, S.H.; writing-original draft preparation, review and editing, Al-Behadili, S.H. All authors have read and agreed to the published version of the manuscript." **Funding:** "This research received no external funding."

**Data Availability Statement:** "The data are available at request."

**Acknowledgments:** "The authors would like to express their appreciation to the General Electric Company –Tripoli and General Electric Company –Tarhuna."

**Conflicts of Interest:** "The authors declare no conflict of interest."

## References

- [1] M. Salah Eddin and H. Abdulkarim, "Distribution system operation and performance enhancement, applying distribution generation dg.s penetration based on optimal power flow analysis," Al academia journal for Basic and Applied Sciences, vol. 2. No. 1, 2020, Libya.